

1

1 Esercizio: Si compatta  $g(S) \geq 1$ .

Dati  $P, Q \in S$ ,  $P \neq Q$ ,  $D \in \text{Div}(S) \Rightarrow$

$D$  e  $D+P-Q$  non sono equivalenti

Soltanto  $D \sim D+P-Q \Rightarrow \exists f \text{ t.c. } (f) + D = D+P-Q$ .

$(f) = P-Q \Rightarrow f: S \rightarrow \hat{\mathbb{C}}$  è 1-1.

Isomorfismo analitico  $\Rightarrow S$  ha genere 0.

2 Esercizio: Verificare che su  $\mathbb{C}/\Lambda$  touto complesso  
ogni divisore canonico è principale.

Sol  $g(\mathbb{C}/\Lambda) = 1$ .  $w = dz$ .

$q \in \mathcal{L}_{\text{mero}}^1(\mathbb{C}/\Lambda)$   $q = f dz$ .  $(q) = (f)$

3 Esercizio  $\hat{\mathbb{C}}$  tutti i divisori dello stesso grado  
sono linearmente equivalenti.

Sol  $\deg D = \deg D' \quad \deg(D-D') = 0$

$E = \sum n_i P_i - \sum m_j Q_j \quad n_i, m_j > 0$ . Supposto diseguali.

Sappiamo che  $P_i, Q_j \in \mathbb{C}$ .  $= \sum n_i = \sum m_j$

$\Rightarrow f = \frac{\prod(z-p_i)^{n_i}}{\prod(z-q_j)^{m_j}}$   $D-D' = (f)$ .

Caso in cui  $P_1 = \infty$ . allora  $f = \frac{\prod(z-p_i)^{n_i}}{\prod(z-q_j)^{m_j}}$  è

la funzione cercata.

~~Corollario~~ ~~X supponga di trovare compatta di genere  $g \Rightarrow$~~

~~$D$  con  $\deg D \geq 2g+1$  è molto~~

~~$\Phi_D : X \rightarrow \mathbb{P}^{d-g}$~~

~~è un'immersione regolare.~~

(2)

Tesimo di Riemann-Roch: Sia  $X$  una superficie di Riemann compatta di genere  $g$ . Sia  $D$  un divisore su  $X$ . Allora gli spazi  $L(D)$  e  $J(D)$  sono di dimensione  $e$  dette  $\ell(D)$  e  $i(D)$  le loro dimensioni n'ha.

$$\ell(D) - i(D) = \deg D - g + 1$$

$$\ell(D) - \ell(K-D) = \deg D - g + 1$$

Conseguenza banale: Tutte le superficie di Riemann compatte di genere 0 sono analiticamente isomorfe a  $\mathbb{C}$

Infatti in  $S$  presi  $P \neq Q$   $D = P-Q \Rightarrow \ell(D) = 1 \Rightarrow$

$(f)+D \geq 0 \Rightarrow (f)+D = 0 \quad (f) = -D \quad f: S \xrightarrow{\text{isomorfismo analitico}} \mathbb{C}$

Dim del Teorema. Assumiamo  $D$  effettivo, i.e.  $D \geq 0$ .

$D = \sum_{i=1}^k n_i P_i \quad n_i > 0$ . Sia  $z_i$  le coordinate locali

intorno a  $p_i$  t.c.  $z_i(p_i) = 0$ , i.e.  $p_i \in U_i \xrightarrow{q_i} \mathbb{C}$ .  
 $p_i \xrightarrow{\longrightarrow} 0$  parametro  $z_i$

Coda di Laurent.

$$P_D = \left\{ (F_1, \dots, F_k) \mid F_i = \frac{a_{-n_i}}{z_i^{n_i}} + \dots + \frac{a_{-1}}{z_i} \quad a_n^i \in \mathbb{C} \right\}.$$

Dim  $P_D = \deg D$ .

$f \in L(D) \rightarrow P_D(f)$  coda di Laurent di  $f$  intorno ai punti  $p_i$

Se  $P_D(f) = 0 \Rightarrow f$  è regolare (olomorfo in  $X$ )  $\Rightarrow f = c$ .

$$\Phi: L(D) \rightarrow P_D(f)$$

$$f \xrightarrow{\quad} P_D(f) \quad \text{nucleo} = \mathbb{C}.$$

$$\Phi: L(D)/\mathbb{C} \rightarrow P_D$$

Partendo da  $L(D) < \infty$  . (3)

Consideriamo l'applicazione bilineare

$$P_D \times \Omega^1(X) \xrightarrow{\text{Res}} \mathbb{C}$$

$$(F_1, \dots, F_k, \omega) \longrightarrow \sum_{i=1}^k \text{Res}_{P_i} F_i \omega.$$

Da dimostrare: induce un' applicazione bilineare non degenera.

$$P_D / (\mathcal{L}(D)/\mathbb{C}) \times \Omega^1(X) / I(D) \xrightarrow{\text{Res}} \mathbb{C}.$$

Se vero

$$\deg(D) - \ell(D) + 1 = g - i(D) \quad \text{questo è Riemann Roch}!!$$

Da verificare

$$(1) \text{ Assegnato } \omega \in \Omega^1(X) \quad \sum_{i=1}^k \text{Res}_{P_i} F_i \omega = 0 \quad \forall (F_1, \dots, F_k) \in P_D \iff \omega \in I(D)$$

$$(2) \text{ Dato } (F_1, \dots, F_k) \in P_D \quad \text{si ha} \quad \sum \text{Res}_{P_i} F_i \omega = 0 \quad \forall \omega \in \Omega^1(X)$$

$$\iff (F_1, \dots, F_k) = \Phi(f) \quad \text{con } f \in \mathcal{L}(D).$$

$$\text{Dim (1)} \quad \text{Se } (\omega) = (\omega)_0 > D \Rightarrow \sum \text{Res}_{P_i} F_i \omega = 0$$

$$\text{Viceversa Supponiamo } \sum \text{Res}_{P_i} F_i \omega = 0 \quad \forall (F_1, \dots, F_k) \quad \text{allora}$$

$\omega$  deve avere in  $P_i$  uno zero di ordine almeno  $n_i$  e con via.  
quindi  $(\omega) > D$ .

$$(2) \quad \text{Un' applicazione è immediata. Se } (F_1, \dots, F_k) = \Phi(f)$$

$$\sum_{i=1}^k \text{Res}_{P_i} F_i \omega = \sum_i \text{Res}_{P_i} f \omega = \sum_i \text{Res}_P f \omega = 0.$$

Quindi per  $D$  effettivo "hanno dimostrazione". Sia  $(F_1, \dots, F_k) \in P_D$

Troviamo Sia  $D = \sum n_i P_i$  effettivo su  $X$ . Sia  $f \in \mathcal{L}(D)$

Se  $\sum \text{Res}_{P_i} F_i \omega = 0 \quad \forall \omega \in \Omega^1(X)$  allora esiste  $f \in \mathcal{L}(D)$   
che ha in  $P_i$  parte principale legata a  $F_i$ .

Lo studio di questo Teorema può essere condotto  
a un teorema di esistenza di differenziali meromorfi.

(4)

Teorema Sia  $p \in X$  e coordinate locali intorno a  $z(p)$   
 $k$  interi  $\geq 1$  allora esiste  $\varphi \in \Omega^1_{\text{mero}}(X)$  t.c.

1)  $\varphi$  olomorfo in  $X - \{p\}$  e  $\varphi - d\left(\frac{1}{z^k}\right)$  è olomorfo intorno a  $p$ .

Dimo:  $\lambda \in \mathbb{I}$  intorno a  $p$ . (e poi va a zero)

$$\psi = d\left(\frac{\lambda}{z^k}\right) \in \mathcal{E}_{\text{comp}}^1(X_p) \quad (\text{è buio a supp compatto})$$

$$\psi - i * \psi \text{ è } C^\infty(X) \text{ perché } *d\left(\frac{1}{z^k}\right) = -i \cdot d\left(\frac{1}{z^k}\right)$$

per le compattezze abbiamo che

$$\psi - i * \psi = df + *dg + \omega_h \quad (g = -*\omega)$$

$$\mu = \psi - df = i * \psi + *dg + \omega_h.$$

Ovviamente in  $X - \{p\}$   $d\psi = 0 \Rightarrow d\mu = 0$

$$\text{ma anche } \delta\mu = 0 = \mathbf{1} - *d*(i * \psi + *dg + \omega_h) =$$

Quindi  $\mu$  è armonica in  $X - \{p\}$ .

$$\varphi = \frac{1}{2}(\mu + i * \mu) \text{ è olomorfo in } X - \{p\}.$$

Intorno a  $p$  si ha  $\varphi = \frac{1}{2}(\mu + i * \mu) = \frac{1}{2}(\psi + i * \psi) - \frac{1}{2}(df + i * df)$   
 $\qquad \qquad \qquad d\left(\frac{1}{z^k}\right) + \gamma$  olomorfo

Cordano: Sia  $(F_1 \dots F_k) \in P_D$  allora esiste  $\varphi \in \Omega^1_{\text{mero}}(X)$  ⑤  
 t.c.  $\varphi$  è olomorfa in  $X \setminus \{p_1 \dots p_k\}$  e  $\varphi - dF_i$  è olomorfa  
 intorno a  $p_i$

$$\text{Dim } F_i = \frac{a_{-n_i}^i}{z^{n_i}} + \dots + \frac{a_{-1}^i}{z^i}$$

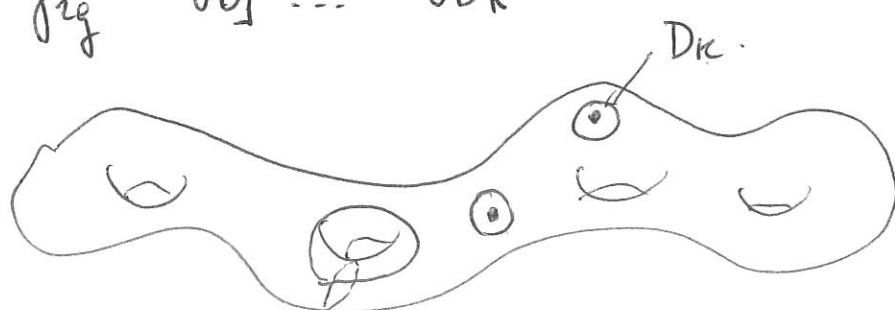
allora  $dF_i = a_{-n_i}^i d\left(\frac{1}{z^{n_i}}\right) + \dots$  Applichiamo Teorema  
 di prima e facciamo com. lineari  
 ad ogni singolo  $d\left(\frac{1}{z^n}\right)$

Dim: Teorema Abhau (F<sub>1</sub> ... F<sub>k</sub>)  $\sum \text{Res}_{p_i} F_i w = 0$   $\forall w \in \Omega^1$   
 troviamo  $\varphi$  come nel cordano. Vogliamo  $\varphi$  essere  
 in  $X \setminus \{p_1 \dots p_k\}$ . Allora  $\varphi = df$  e quindi  
 $f$  olomorfa in  $X \setminus \{p_1 \dots p_k\}$  e  $f$  ha un'estensione  
 meromorfa a  $X$  con punti principali  $F_i$ .

Per vedere  $\varphi$  essere harto prendere un baricentro  
 (meglio un insieme di generatori di

$$H_1(X \setminus \{p_1 \dots p_k\}, \mathbb{Z}) \text{ e verificare } \int_{\gamma} \varphi = 0$$

$$\gamma_1 \dots \gamma_{2g} \quad \partial D_1 \dots \partial D_k$$



Ora siamo posso trovare  $\varphi$  con  $\varphi + w \in \Omega^2(X)$  (6)

In particolare  $\varphi - \sum a_i w_i$  in modo che  $\int_{\gamma_i} \varphi = 0 \quad i=1 \dots g$ .

$\int_{\partial D_i} \varphi = \int_{\partial D_i} dF_i = 0$  perché in  $dF_i$  il residuo è nullo.

Maius de calcolare  $\int_{\gamma_{g+j}} \varphi \quad j=1 \dots g$ .

Usando le relazioni bilineari di Riemann abbiamo

$$\text{essi } \sum_{P \in X_0} \text{Res}_P h_j \varphi = \sum_{i=1}^g \left[ \int_{\gamma_i} w_i \int_{\gamma_{g+i}} \varphi - \int_{\gamma_{g+i}} w_i \int_{\gamma_i} \varphi \right]$$

$$= \sum_{i=1}^g \int_{\gamma_i} w_i \int_{\gamma_{g+i}} \varphi = \int_{\gamma_{g+1}} \varphi$$

$$\text{Adesso } \sum_{P \in X_0} \text{Res}_P h_i \varphi = \sum_{i=1}^k \text{Res}_{P_i} h_i \varphi = \sum \text{Res}_{P_i} h_i dF_i =$$

$$\sum \text{Res}_{P_i} d(h_i F_i) - \sum \text{Res}_{P_i} w_i F_i = 0 \text{ per ipotesi.}$$

Affiamo quindi le dimostrazione per  $D \neq 0$ .

Osservazione (grazie) se  $K = (w)_0$ .  $w \in \Omega^2(X)$

$I(K)$  è generato da  $w \Rightarrow i(K)=1$ .

$i(K)=i(0)=g \Rightarrow \deg K = 2g-2 \checkmark$ . (già visto con R-H)

usando esattezza di  $f$  meromorfe.

(7)

Vediamo R-R per D divisor generale.

Osservazione se  $l(D) \neq 0 \Rightarrow \exists f / (f) \in D = D' \neq 0$ .  
 R.R è vero per  $D'$ , ma  $D \sim D'$  e  $K-D \sim K-D'$

quindi abbiamo gli stessi numeri

Se  $l(K-D) \neq 0$ , allora vale R.R per  $l(K-D)$ .

$$l(K-D) - l(D) = 2g-2 - \deg D - g+1 = -\deg D + g-1$$

Quindi o.K. Rimane solo il caso in cui  $l(D) = l(K-D)$ .

In questo caso bisogna dimostrare che  $\deg D = g-1 = \deg(K-D)$ .

$D = D^+ - D^-$  con  $D^- > 0$  altrimenti D effettivo e R-R o.K.

Osserviamo che  $i(K+D^-) = 0$  perché un diff  $w \neq 0$  sfiora  
 le  $2g-2$  zeri invece  $\deg(K+D^-) > 2g-2$ .

Inoltre abbiamo  $0 = l(D) \geq l(D^+) - \deg D^-$

purché imporre degli zeri significa impostare delle condizioni lineari  
 e quindi ogni volta si diminuisce al più di 1.

$$0 = l(D) \geq l(D^+) - \deg(D^-) = i(D^+) + \deg D^+ - g+1 - \deg D^-$$

$$0 \geq \deg D + i(D^+) - g+1 \Rightarrow g-1 - i(D^+) \geq \deg D$$

In modo simile

$$0 = l(K-D) \geq l(K+D^-) - \deg D^+ = i(K+D^-) + \deg(K+D^-) - \deg D^+ - g+1$$

$$\Rightarrow \deg D \geq \deg(K) - g+1 = g-1$$

(8)

Quindi  $\deg D = g-1 - \dots$

Applicazione:  $D$  divisor  $\deg D > 2g \Rightarrow l(D-p) = l(D)-1.$

Infatti  $l(D) = \deg D - g + 1 + l(D) \stackrel{=0}{\sim}$   
 $l(D-p) = \deg D - 1 - g + 1 + l(D-p) \stackrel{>0}{\sim}$

Quindi O.K., Note entro funzioni meromorfe su  $X$ .

Siano  $f, g \in \mathcal{M}(S)$  non costanti allora esiste un polinomo irriducibile  $P(x,y) \in \mathbb{C}[x,y]$  t.c.  $P(f,g) = 0$

Nota:  $\mathbb{C}[x,y]$  è un VFD e ogni polinomo fatturazione in modo unico in fattori irriducibili.

Dim  $D = (f)_\infty \quad \Delta = (g)_\infty \quad V_n \subseteq \mathbb{C}[x,y]$  lo spazio vettoriale dei polinomi di grado  $\leq n$ .

$$\begin{aligned} \phi: V_n &\longrightarrow \mathcal{L}(n(\Delta+D)) \\ Q(x,y) &\longrightarrow Q(f,g) \end{aligned}$$

$Q(f,g) \in \mathcal{L}(n(\Delta+D))$  infatti somme di monomi

$$f^h g^k \quad (h+k \leq n) \quad (f^h g^k) + n(\Delta+D) \geq 0.$$

per  $n \gg$  ~~dim~~  $l(n(\Delta+D)) = n(\deg \Delta + \deg D) - g + 1$ .

$$\dim V_n = \frac{(n+2)(n+1)}{2} \quad \textcircled{*}$$

(9)

⊕ per induzione -

$$\dim V_0 = 1 \quad \checkmark$$

$$\dim V_{n-1} = \frac{(n+1)n}{2} \quad \text{ipotesi di induzione}$$

$$V_n = V_{n-1} \oplus \langle x^n, x^{n-1}y, \dots, xy^{n-1}, y^n \rangle \Rightarrow$$

$$\dim V_n = \dim V_{n-1} + (n+1) = \frac{1}{2}(n+1)n + (n+1) = \frac{1}{2}(n+1)(n+2) \quad \checkmark$$

Quindi per  $n > 0$   $\dim V_n > \dim l(n(\Delta + D))$

Quindi  $\Phi$  ha nucleo non banale. Sia  $F(x,y)$  un elemento non nullo di  $\ker \Phi$ . Assumiamo

$$F(x,y) = P_1(x,y)^{r_1} \cdots P_k(x,y)^{r_k}.$$

Abbiamo  $F(f,g) = 0 \Rightarrow$  un polinomio irriducibile  $P_i(x,y)$  verifica  $P_i(f,g) = 0$ .

Abbiamo anche

Teorema  $X$  s.p. di Riemann compatte. Esistono su  $X$  2 funzioni meromafe non costanti  $f \neq g$  che godono delle seguenti proprietà. Sia  $n$  il grado di  $f$  come investimento razionalizzato di  $\mathbb{C}$  allora esiste un punto  $p \in \mathbb{C}$  t.c.

$$1) f^{-1}(p) = \{p_1, \dots, p_n\} \quad p_i \neq p_j \quad \forall i \neq j$$

2) nessun  $p_i$  è un polo per  $g$ .

$$3) g(p_i) \neq g(p_j) \quad \forall i \neq j.$$

Dim: 1) Ogni  $f$  investimento razionalizzato

Sia  $D = p_1 + \dots + p_n$   
 $\Delta = q_1 + \dots + q_N$        $q_i \neq p_j \quad \forall i=1\dots N$   
 $\quad \quad \quad j=1\dots n.$

e  $N-n \gg 0$

$$\begin{aligned} L(\Delta) &\xrightarrow{\Phi} \mathbb{C}^n \\ g &\longmapsto (g(p_1), \dots, g(p_n)) \end{aligned}$$

Sappiamo che se sceltive allora basta prendere un  $g$  che vada su coordinate  $(z_1, \dots, z_n)$  con  $z_i \neq z_j$ .

$$\text{Ker } \Phi = L(\Delta - D)$$

Adesso  $N-n$  ci permette di usare il primo risultato  $n$  volte. e quindi  $\dim \text{Im } \Phi = \ell(\Delta) - \ell(\Delta - D)$

Osservazione: Il tutto è vero per quasi tutti i punti di  $\hat{\mathbb{C}}$  e per quasi tutti i  $g$  di  $L(\Delta)$ .

Termino (Cap 8) Ogni superficie di Riemann compatte si può ottenere come denegolarizzazione di una curva algebrica priva definite da un polinomio irriducibile

~~Dim Sia  $f: \mathbb{C} \rightarrow \mathbb{P}$  come prima.~~

~~Vediamo come costituire  $F(x, y)$  irriducibile.~~

~~$H \in \mathbb{C} - B$  ( $B$  insieme di diramazione di  $f$ ).~~

~~Abbiamo  $f^{-1}(z) = \{p_{1,z}, \dots, p_{n,z}\}$~~

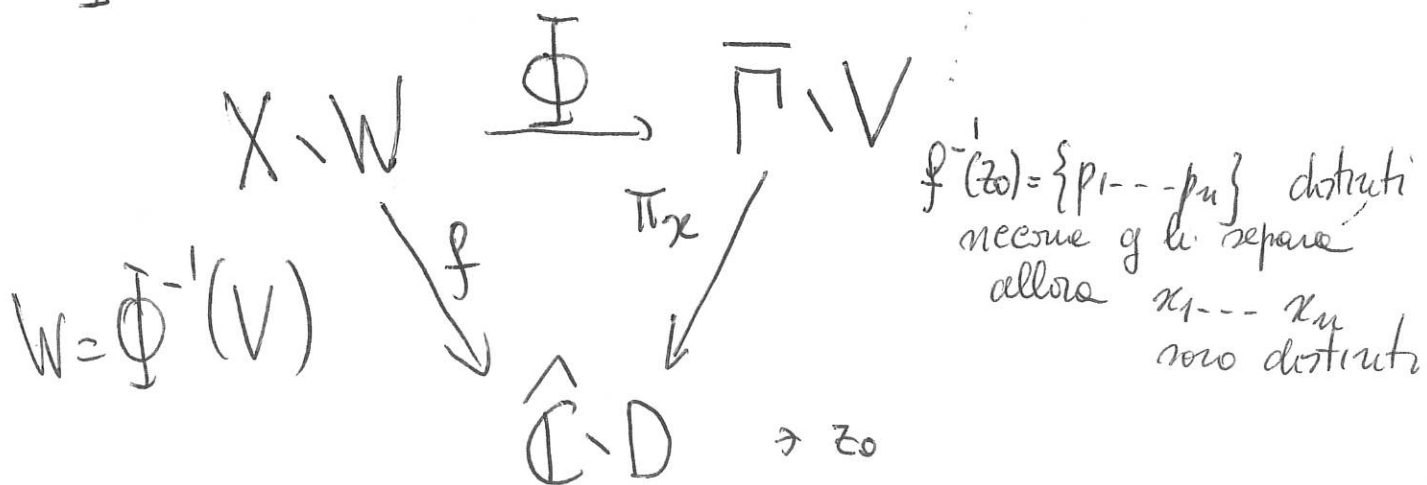
Dimostrazione del teorema

11

Siano  $f, g \in F(x,y)$  il polinomo t.c.  $F(f,g) = 0$

Ahhanno  $\Phi: X \rightarrow \mathbb{P}^2(\mathbb{C})$   
 $p \mapsto [f(p), g(p), 1]$  estesa anche ai pali di  $f, g$ .

$$\Phi(X) = \overline{\Gamma} \supset \Gamma = \{(x,y) / F(x,y) = 0\}$$



$f$  e  $\pi_x$  sono i mappamenti di grado  $n$ . quindi

$\Phi$  è un morfismo.

Sia  $C'$  la desingolarizzazione di  $\overline{\Gamma}$

$C'$  è una superficie di Riemann compatta ed è  
l'uno complemento di  $\overline{\Gamma} \setminus V$  ma lo è anche  
 $X$  (uno complemento di  $X \setminus W$ )

Quindi  $X \cong C'$  morfismo analitico.

E la desingolarizzazione è anche connesse

Altre conseguenze

Terme Siano  $p_1 - p_n \in X$ ,  $F_1 - F_n$   
cole di Laurent in  $p_1 - p_n$  Sia

$$F_i = \frac{a_{-n_i}^i}{z^{n_i}} + \dots + \frac{a_{-1}^i}{z^i}$$

$z_i$  coordinate locali. Altre ente q obietti  
in  $X \setminus \{p_1 - p_n\}$  t.c.  $\varphi - F_i z_i$  è obiettivo a  $p_i$

$$\Rightarrow \sum_i \operatorname{Res} F_i dz_i = 0$$

Faccio uso del teorema dimostrato più sopra  
naturale al caso  $M_i = 1 \quad i=1, \dots, n$ .

Condensazione

$$\Phi : I(-p_1 - p_n) \xrightarrow{\varphi} \overbrace{\mathbb{C} \oplus \dots \oplus \mathbb{C}}^m \text{ volte.}$$

$$\ell(-\sum p_i) = i(-\sum p_i) = -n+g+1.$$

$$i(-\sum p_i) = n+g-1$$

$$\operatorname{Ker} \Phi = \Omega^1(X) \quad \operatorname{Im} \Phi \subseteq \sum x_i = 0.$$

Vale l'uguaglianza.

Conseguenze Ulteriori

$$\deg D = 2g-2, D \geq 0 \quad \ell(D) \geq g \Rightarrow D = K \quad (\ell(D) = g)$$

$$\ell(D) - \ell(K-D) = g-1 \Rightarrow \ell(D) \geq g \Rightarrow \ell(K-D) = 1$$

$$0 \leq K-D = (f) \quad D = K$$

Possiamo discutere con maggior dettaglio  
il caso delle curve piane linee proiettive

(13)

$$C = \{[x_0, x_1, x_2] / F(x_0, x_1, x_2) = 0\}.$$

Sia  $\Gamma$  un'altra curva non contenente  $C$ .

$$\Gamma \text{ ha equazione } G(x_0, x_1, x_2) = 0$$

Dividere su  $C$  tagliato da  $\Gamma$ .

$$\Gamma \cdot C = \sum_{p \in C} I(p, \Gamma \cap C) p$$

Come definire  $I(p, \Gamma \cap C)$ .

Sia  $H(x_0, x_1, x_2)$  un polinomio omogeneo  $\deg H = \deg G$ .

ma  $H$  non si annulla in  $p$ . Poniamo  $x = x_1/x_0, y = x_2/x_0$ .

$\frac{G(x_0, x_1, x_2)}{H(x_0, x_1, x_2)} = \frac{G(s, x, y)}{H(s, x, y)}$  è una funzione meromorfa su  $\mathbb{P}$

perché lo sono  $x$  e  $y$ . Inoltre è regolare in  $p$ .

$I(p, \Gamma \cap C) = v_p(G/H)$ , la definizione potrebbe dipendere  
da  $H$ . Prendiamo  $H'$  stesse proprietà

$$v_p(G/H) = v_p(G/H') + v_p(H'/H) \quad \text{quindi } \underline{0.K}$$

Ovviamente  $I(p, \Gamma \cap C) = 0 \Leftrightarrow p \notin \Gamma \cap C$ .

(14)

Vediamo che

$$\deg(P \cdot C) = \deg P \cdot \deg C.$$

e se  $P'$  è un'altra curva che non contiene  $C$  di grado  $m$ .

$$\text{allora } P \cdot C \sim P' \cdot C.$$

A meno di cambio di coordinate possiamo assumere che

la retta  $L$  di equazione  $x_1=0$  incontri  $C$  in

$$n$$
 punti distinti  $L \cdot C = P_1 + \dots + P_n$ .

$$L^m = \{x_1^m = 0\} \quad L^m \cdot C = m \left( \sum_{i=1}^n P_i \right)$$

$P$  e  $P'$  2 curve di grado  $m$ .

$$P \cdot C \setminus P' \cdot C = (G/G') = f$$

quindi  $P \cdot C \sim P' \cdot C$  e  $\deg(P \cdot C) = mn$ .

Vediamo in modo algebrico che le curve di grado  $d-3$  tolgono le loro causese

$$|K| = \{ P \cdot C \mid P \text{ curva di grado } d-3 \}.$$

$$\text{Sia } D = P \cdot C \quad (\text{$P$ curva di grado $d-3$}) \quad \begin{aligned} \deg D &= d(d-3) \\ f &= 0 \end{aligned}$$

$$g = \frac{1}{2}(d-1)(d-2)$$

$$L(D) \supseteq W_{d-3} = \left\{ H/G \mid \begin{array}{l} H = H(x_0, x_1, x_2) \\ \text{ha grado } d-3 \end{array} \right\}$$

$$\dim W_{d-3} = \binom{d-3+2}{2} = g. \Rightarrow D \text{ è un divisore} \underline{\text{causale}}$$

Più in generale abbiamo

Terrene  $C$  che sono piane proiettive non singolari

Allora le curve piane di dato grado taghiano su  $C$   
sono curve complete.

Dim  $C$  ora  $L$  ha rette  $\Delta = L \cdot C$ .

$V_m =$  polinomi omogenei di grado  $m$   $\dim V_m = \binom{m+2}{2}$

$\phi_m : V_m \longrightarrow L(m\Delta)$   
 $G \longrightarrow \mathbb{P}^1/\mathbb{P}^1$  numerate.

è suriettiva ??

Vero se  $n = d-3$   $L((d-3)\Delta) = L(K) \cong \Omega^1(C)$

Se  $n \leq d-3$   $L((d-3-n)\Delta) = L(K - n\Delta)$

I divisori di  $|K|$  sono taghati dalle curve di grado  $d-3$

I divisori di  $|K|$  che contengono la curva  $n\Delta$  sono

taghati dalle curve  $(d-3-n) \cup L^n$   $D \in |K|$

$V_{d-3-n} \longrightarrow L((d-3-n)\Delta) \xrightarrow{D \in |K|} D - n\Delta \geq 0$   
 è suriettiva.

Adesso invece  $n > d-3$ .

$$l(K - n\Delta) = 0 \Rightarrow l(n\Delta) = nd - \frac{1}{2}(d-1)(d-2) + 1$$

$$\dim V_n = \binom{n+2}{2}$$

(1b)

$$\ker \Phi_n \cong \begin{cases} V_{n-d} & \text{per } n > d \\ 0 & n = d-1, d-2 \end{cases}$$

$$\ker \Phi_n = F \cdot H \quad H \in V_{n-d}.$$

$$\begin{aligned} \dim \text{Im } \Phi_n &= \binom{n+2}{2} - \binom{n-d+2}{2} = \frac{1}{2}(n+2)(n+1) - \frac{1}{2}(n-d+2)(n-d+1) \\ &= \frac{1}{2}(n^2 + 3n + 2) - \frac{1}{2}((n-d)^2 + 3(n-d) + 2) = \\ &\quad \frac{1}{2}(2dn - d^2 + 3d) = nd - \frac{1}{2}d(d-3) = l(n\Delta). \end{aligned}$$

Quindi è snelliva.  $n > d$ .

$$n = d-1, d-2 \quad \text{allora } l(n\Delta) = nd - \frac{1}{2}d(d-3)$$

$$\text{caso } n = d-1 \Rightarrow d(d-1) - \frac{1}{2}d^2 + \frac{3}{2}d.$$

$$\frac{d^2}{2} + \frac{1}{2}d = \frac{1}{2}d(d+1) = \binom{d+1}{2}$$

O.K.

Esercizio 1:  $D \quad \deg D = 0 \Rightarrow l(D) = 0, 1$ . Determinare  $\mathcal{L}(D)$

$$C = \{[X, Y, Z] \mid Y^4 Z = X^5 - XZ^4\}.$$

(17)

Determinare  $l(D)$  Sia  $Q = [0, 1, 0]$ ,  $P = [0, 0, 1]$

Calcolare  $l(4Q - 4P)$   $l(3Q - 3P)$

2) Trovare 2 divisori di grado  $g-1$  t.c.  $l(D-P) \in l(D) \cap$

$$l(D) - l(k-D) = -g+1$$

~~l(D)~~  $\mathcal{L}(D) = \{f \mid (f) + D \geq 0\}$  mentre  $\deg D = 0 \quad (f) + D = 0\}$

$l(D) \neq 0 \iff$  quando  $D$  è un divisore principale  $D = (\frac{1}{f})$ .  
e in questo caso  $l(D) = 1$ .

Consideriamo la curva  $C$  e la retta  $L: \Theta = x$ . intersecc.

$C$  nel punto  $P$  con molteplicità 4 e nel punto  $Q$  con molte

l'intersezione con la retta  $H$  di equazione  $Z=0$  nel punto  $Q$  con

molteplicità 5 quindi  $X/Z = f$ .

$$(f) = 4P - 4Q \quad \text{quindi } (f) + 4Q - 4P = 0.$$

$$l(4Q - 4P) = 1$$

Adesso sappiamo che  $D - Q + P \not\sim D \approx 0$

$$\text{Quindi } 3Q - 3P \not\approx 0 \iff l(3Q - 3P) = 0$$

(18)

Sia  $S$  un toro complesso  $\mathbb{C}/\Lambda_\tau$ .

Dimostrare che  $\ell(np) = n$   $\forall n \in \mathbb{Z}$ .

Siano  $\{1, g\}$  e  $\{1, f, fg\}$  basi per  $\mathcal{L}(2P)$  e  $\mathcal{L}(3P)$

dimostrare che esistono  $c, d$  non nulli t.c.

$$cf^3 - dg^2 \in \mathcal{L}(5P)$$

Dimostrazione che esiste  $P(x,y) \in \mathbb{C}[x,y]$  di grado 3 tale che

$$P(f,g) = 0$$

Dimostrazione che  $P(x,y)$  è irriducibile.

Applichiamo R.R  $\deg K = 0 \Rightarrow$

$$\ell(np) - \ell(K-nP) = n - 1 + 1 = n$$

Consideriamo

$$1, f, g \Rightarrow f \in \mathcal{L}(4P) \quad fg \in \mathcal{L}(5P) \quad f^3, g^2 \in \mathcal{L}(6P)$$

$$1, f, g, f^2, fg, g^2, f^3 \in \mathcal{L}(6P)$$

Sono 7 esiste una relazione tra di loro

$$a_1 + a_2f + a_3g + a_4f^2 + a_5fg + a_6g^2 + cf^3 - dg^2 = 0$$

$$\text{allora } cf^3 - dg^2 = -a_1 - a_2f - a_5fg \in \mathcal{L}(5P)$$

$$\text{Inoltre } a_1 + a_2x + a_3y + a_4x^2 + a_5xy + a_6y^2 + cx^3 - dy^2 = 0$$

è il pianoano - Sappiamo che ne è riducibile

$\Rightarrow$  anche una relazione di grado < non è possibile

Esercizio: Siano  $D$  e  $E$  divisori positivi di  $X$   
 Dimostrare che  $\ell(D) + \ell(E) \leq \ell(D+E) + 1$

(19)

Si supponga  $\text{Supp } D \cap \text{Supp } E = \emptyset$ .

$\ell(D) \geq 1 \in \mathcal{L}(E)$

Sia  $f_1, \dots, f_{k-1}$  base di  $\mathcal{L}(D)$   $(f_i)_\infty \subseteq D$

Sia  $g_1, \dots, g_{n-1}$  base di  $\mathcal{L}(E)$   $(g_j)_\infty \subseteq E$ .

Allora  $f_1, f_2, \dots, f_{k-1}, g_1, \dots, g_{n-1} \in \mathcal{L}(D+E)$  e  
 sono indipendenti quindi O.K.

In generale consideriamo

$$|D| \times |E| \xrightarrow{\phi} |D+E|$$

$$(D', E') \longrightarrow D' + E'$$

Adesso questo applicazione ha fibre finite quindi  
 $\dim \text{Im } \phi = \dim |D| + \dim |E| = \ell(D) + 1 + \ell(E) - 1$   
 $\leq \ell(D+E) - 1$  - Quindi  $\ell(D) + \ell(E) \leq \ell(D+E) + 1$ .

(20)

Sia  $D$  un divisore,  $D \geq 0$

$\{U_\alpha\}$  insieme di aperti di  $X$  che sono carte locali.

$h_\alpha = 0$  equazione di  $D$  in  $U_\alpha$ , i.e.  $h_\alpha$  è una funzione  
olomorfa in  $U_\alpha$  e  $D|_{U_\alpha} = (h_\alpha)$ .

Esempio  $D = np$ .  $z$  coordinate locali intorno a  $p$ .

$$U_0 = U \ni p \quad h_0 = z^n, \quad U_1 = X \setminus \{p\} \quad h_1 = 1.$$

$$\text{Note } S_{\alpha\beta} = \frac{h_\alpha}{h_\beta} \in \mathcal{O}^*(U_\alpha \cap U_\beta).$$

Questi dati conducono alla definizione di sezioni di un fascio.

Una sezione  $s$  del fascio  $\mathcal{O}(D)$  relative al mappamento

è la sezione  $s$  del fascio  $\{S_\alpha\}_{\alpha \in A}$ ,  $S_{\alpha\beta} \in \mathcal{O}^*(U_\alpha \cap U_\beta)$

talché  $S_\alpha = S_{\alpha\beta} S_\beta$  in  $U_\alpha \cap U_\beta$  e  $(S_\alpha) \geq \mathcal{O}|_{U_\alpha}$ .

Possiamo nominare sezioni  $\{s\} = \{S_\alpha\}$  e  $t = \{t_\alpha\}$

ast +  $t \in \mathcal{O}(D)$  al fascio.

Notiamo  $s \in H^0(U, \mathcal{O}(D))$ .  $\varsigma = \{h_\alpha\} \in H^0(U, \mathcal{O}(D))$ .

$$\bar{\Phi}: H^0(U, \mathcal{O}(D)) \xrightarrow{\cong} \mathcal{L}(D)$$

$$\{S_\alpha\} \longrightarrow S_\alpha/h_\alpha = f|_{U_\alpha}.$$

Ovviamente  $f|_{U_\alpha} = f|_{U_\beta} = S_\beta/h_\beta$ .

$$\text{``} \quad S_\alpha/f_\alpha = \frac{S_\alpha S_\beta}{S_\beta h_\beta} =$$

$$\bar{\Phi}^{-1}(f) = \{f \cdot h_\alpha\}_{\alpha \in A}.$$

$$\bar{\Phi}(\varsigma) = 1.$$

$$\text{Sarà} \quad \Phi(s) = \frac{s}{\delta} \quad \Phi^{-1}(f) = f \cdot s.$$

(21)

Possiamo scrivere anche

$$P H^0(U, \mathcal{O}(D)) \cong |D|$$

Definizione  $D \geq 0$  Il lego base di  $|D|$  è il divisore  $B$  definito da  $B = \text{m.c.d} \{ D' \}$   $D' \in |D|$

Osservazione se  $D = \Delta + B$  allora si ha

$$|D| = |\Delta| + B.$$

$B$  è il più grande divisore in cui vale tale relazione

Se  $B = 0 \Rightarrow |D|$  è privo di punti neri.

$$\boxed{B} \quad B = \text{M.C.D} \{ (s) \}_{s \in H^0(U, \mathcal{O}(D))}$$

$$B = \text{m.c.m.} \{ (f)_{\infty} \mid f \in L(D) \}.$$

Comunque in generale avremo  $L(D) = L(D - B)$

$$H^0(U, \mathcal{O}(D)) \cong H^0(U, \mathcal{O}(D - B))$$

Tipo esempio  $g(X) \geq 1 \quad D = p$

Allora  $|D| = |D| + p$ .

Comunque considereremo sempre serie lineari pure di punti fissi.

Consideriamo che have  $s^0 \dots s^r$  di  $H^0(U, \mathcal{O}(D))$   
 $f^0 \dots f^r$  di  $\mathcal{L}(D)$

$s^0 = \sigma$  quindi  $f^0 = 1$ .

Come abbiamo già visto abbiamo un'applicazione  
 analitica  $\varphi_D : X \longrightarrow \mathbb{P}^r$

$$p \mapsto [s_x^0(p) \dots s_x^r(p)]$$

Quando  $p \in U_x$ . Se invece  $D$  è fuo di punti fissi.  
 abbiamo sempre che  $\varphi_D(p) \neq [0 \dots 0]$   
 ben definita perché  $s_x(p) \neq 0$ .

Osserviamo  $\varphi_D(p) = [1, f^1(p) \dots f^r(p)]$  (grado visibile)

Per una sezione  $s$   $s(p)$  non ha significato, lo ha  
 invece  $[s^0(p) \dots s^r(p)]$

Possiamo anche scrivere  $s(p) = 0$  e  $V_p(S)$ .

TEOREMA:  $X$  superficie di Riemann compatta,  $D > 0$

$$l(D) = \dim \mathcal{L}(D) = \dim H^0(U, \mathcal{O}(D)) \quad r = l(D) - 1$$

Allora condizione necessaria e sufficiente affinché

$|D|$  ne puo' di punti han e

$$\varphi_D : X \longrightarrow \mathbb{P}^r$$

Sia un'immersione non singolare e che l'oggetto di  
 punti  $p, q \in X$   $l(D-p-q) = l(D)-2$ .  $\times$

Sappiamo che  $\otimes$  sia soddisfatta  $\Rightarrow$   
Assume  $l(D) = l(D-p)+1$ , quindi  $\forall p \in X \exists i \in \{0, \dots, r\}$

t.e.  $s^i(p) \neq 0 \Rightarrow |D|$  è privo di punti hure.

Sia  $s^0, \dots, s^r$  hure di  $H^0(U, \mathcal{O}(D))$  vediamo

$\varphi_D$  è iniettiva. Assumiamo che  $\varphi_D(p) = \varphi_D(q) \cdot p \neq q$ .

Cambiamo hure possiamo assumere  $\varphi_D(p) = \varphi_D(q) = [1, 0, \dots, 0]$

Quindi  $s^i(p) = s^i(q) = 0 \quad i=1, \dots, r$ .

$\Rightarrow s^i \in H^0(U, \mathcal{O}(D-q-p)) \Rightarrow l(D-p-q) \geq r$ .

Contradizione.

Assumiamo che in un punto  $p \in X$  lo jacobiano  
di  $\varphi$  non abbia rango massimo  $\varphi_D(p) = [1, 0, \dots, 0]$

Questo vuol dire che localmente intorno a  $p$ . l'applicazione  
è data da  $\varphi(p) \quad z \mapsto (h_1(z), \dots, h_r(z))$

(Note attacco diviso per  $s_0$ ).

Se il rango non è massimo abbiamo

$$(h_1(0), \dots, h_r(0)) = (h'_1(0), \dots, h'_r(0)) = (0, \dots, 0)$$

Quindi  $f^1, \dots, f^r \in L(D-2p)$  contraddizione

Quindi  $\varphi$  è un'immersione non singolare

Teorema Supponiamo che  $|D|$  non abbia punti base.  
e  $\varphi_D$  sia un'immersione. Siano  $z_0 \dots z_r$ . (24)

coordinate di  $\mathbb{P}^r$ . Identifichiamo  $X$  con  $C \subset \mathbb{P}^r$ .

Dati 2 punti  $p, q \in C = \varphi_D(X)$  Siano  $H$  e  $H'$

2 iperpiani  $H$  che non contiene  $p$  e  $q$  e l'altro  
che contiene  $p$ , ma non  $q$ .

$H$  ha equazione  $H(z_0 \dots z_r) = 0$

$H'$  ha equazione  $H'(z_0 \dots z_r) = 0 \Rightarrow H \cap H'$

$H(s_0 \dots s_r)$  e  $H'(s_0 \dots s_r)$  sono 2 sezioni

indipendenti non contenute in  $H^0(U, \mathcal{O}(D-p-q))$

quindi  $l(D-p-q) = l(D) - 2$

Equivalentemente  $1 \in H/H' = f$  non in  $L(D)$

ma non in  $L(D-p-q)$ .

Caso 2p Possiamo trovare un iperpiano  $H$  che non  
passa per  $p$  e un altro che passa per  $p$ , ma non  
contiene la tangente in  $p \Rightarrow l(D-2p) = l(D)-2$ .

Definizione: Tali divisori sono definiti ampi.

Corollario  $X$  superficie di Riemann compatte,  $D$  divisorio

con  $\deg D = d \geq 2g+1 \Rightarrow$

$\varphi_D: X \longrightarrow \mathbb{P}^{d-g}$  è un'immersione regolare.

(25)

## Esercizio (non facile)

S superficie di Riemann compatta  $g=2$

$D$  molto ampio  $\Leftrightarrow \deg D \geq 5$

$\Leftarrow \deg D \geq 5 \Rightarrow D$  molto ampio

Assumiamo  $D$  molto ampio (effettivo) e  $\deg D = 4$ .

$$\text{Per R.R. } l(D) - l(K-D) = 4-2+1=3 \Rightarrow l(D)=3$$

Caso I  $D = K + p_1 + p_2$   $K$  in classe canonico.

$\Rightarrow l(D-p_1-p_2) = l(K) = 2 \Rightarrow D$  non è molto ampio

$\bullet$   $D-K$  non è effettivo  $l(D-K) = 1 \Rightarrow$

$$\exists f \in \mathcal{M}(S) \quad (f) + D - K = q_1 + q_2 \geq 0$$

$$D \sim K + q_1 + q_2 \Rightarrow D - q_1 - q_2 \sim K$$

quindi  $l(D-q_1-q_2) = 2 \Rightarrow D$  non è molto ampio.

## APPLICAZIONE CANONICA

$X$  compatta  $g(X) \geq 1$ .  $K$  in classe canonico

$$K = (\omega)_o. \quad \omega \in \Omega^1(X).$$

$$\varphi_K : X \longrightarrow \mathbb{P}^{g-1}$$

$$l(K) = \Omega^1(X)$$

$$\varphi_K(p) = [\omega_1(p) \dots \omega_g(p)]$$

Significato  $U = \{U_\alpha\}_{\alpha \in A}$  un copertura con  
carte locali:

$$w_i = f_{\alpha,i}(z_\alpha) dz_\alpha.$$

$$\varphi_K(p) = [f_{\alpha,1}(z_\alpha(p)) \quad \dots \quad f_{\alpha,g}(z_\alpha(p))]^\top$$

Tutto ha senso se  $K$  è punto di multi hanc., i.e.  $l(K-p) = g-1$

$$l(K-p) - l(K-K+p) = 2g-3-g+1 = g-2$$

$$l(p) = 1. \quad \forall.$$

Quindi intorno a un punto  $p$  possiamo assunire che  $w_1(p) \neq 0$   
e possiamo scrivere

$$\varphi_K(p) = \left[ 1, \frac{w_2(p)}{w_1(p)}, \dots, \frac{w_g(p)}{w_1(p)} \right].$$

queste funzioni sono localmente omorfie intorno a  $p$ .

Da dimostrare  $\varphi_K$  è un'immersione regolare tranne che  
nel caso iperellittico.

Def X superficie di Riemann di genere  $g \geq 1$  è iperellittica  
se esistono 2 punti  $p \neq q \in X$  t.c.  $l(p+q) = 2$ .  
Ciò equivale a dire che  $\exists f: X \rightarrow \hat{\mathbb{C}}$  mappamento  
ramificato di grado 2. infatti  $l(p+q) \geq 1$ ,  $f$   
 $f$  non costante ha 2 pti.

Adesso  $\ell(p+q)=1 \Leftrightarrow \ell(K-p-q)=g-2$

Infatti  $\ell(p+q) - \ell(K-p-q) = -g+3$

quindi  $\ell(K-p-q) = g-3 + \ell(p+q)$

Quindi  $\varphi_K$  è un'immersione non singolare  $\Leftrightarrow X$  non è iperellittica.

Si verifica facilmente che se  $g(X) \leq 2 \Rightarrow X$  è iperellittica.

Ma superfici iperellittiche sono curvi molto particolari.

Superficie di Riemann - La superficie di Riemann con falce  
generale di genere  $g \geq 3$  non è iperellittica.

(La dimostrazione di questo fatto esula i contenuti di questo  
corso)

Potrebbe essere verificato che curve piane non singolari

di grado  $d \geq 4$ . Non sono curve iperellittiche.

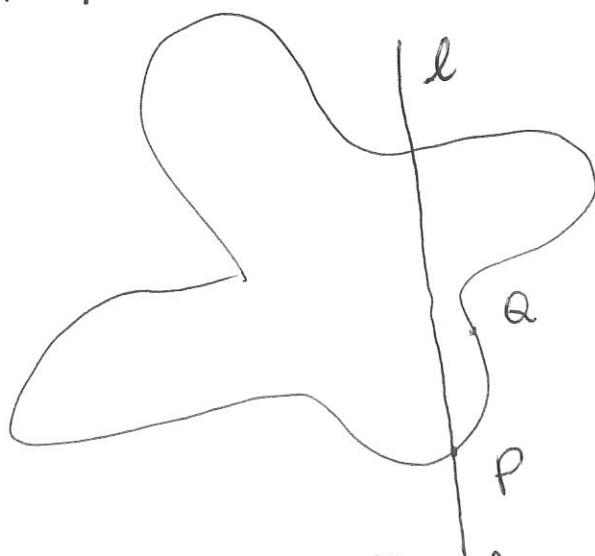
Infatti su  $C$  la serie canonica è tagliata dalle  
curve piane di grado  $d-3$ . Basta dimostrare che  
assegnati 2 punti  $p, q \in C$  esiste una curva di grado  
 $d-3$  tale che  $G \cdot C > p \quad G \cdot C \not> p+q$ .

(e poi che ente  $G'$  t.e.  $G' \cdot C \not> p+q$ )

Sia  $l$  una retta che passa per  $p$  e non per  $q$  se  $p \neq q$ .

Oltre se  $p = q$   $l$  una retta non tangente che passa per  $p$ . Nel primo caso  $G = l^{d-3}$  o.k.  
nel secondo caso  $G = l^{m^{d-4}}$  in una retta che non passa per  $p$ .

Esempio  $d = 4$ .



Caso particolare: Curve iperellittiche

Vogliamo concludere studiando l'applicazione canonica  
nel caso iperellittico

$f: X \rightarrow \hat{\mathbb{C}}$  investimento doppio

$$\text{Atto} \quad \deg f = -4 + R_f \quad \deg(R_f) = 2g+2.$$

Allora abbiamo  $2g+2$  punti di ramificazione

Siano  $p_1, \dots, p_{2g+2}$  e  $p, q$  poli semplici di  $f$

$$\{p_1 q\} = f^{-1}(0)$$

$i: X \rightarrow X$  automorfismo ovaleto che è lo scambio dei 2 fogli i.e.  $f^{-1}f(\bar{p}) = \{\bar{p}, i(\bar{p})\}$ .

Ovviamente  $p_1, \dots, p_{2g+2}$  sono fissati da  $i$ . Inoltre  $i^2 = 1$ .

Adesso consideriamo

$$\mathcal{L}_{\widehat{\mathbb{C}}}((q+1)\infty) \quad \mathcal{L}_X((q+1)(p+q))$$

$$f^*: \mathcal{L}_{\widehat{\mathbb{C}}}((q+1)\infty) \rightarrow \mathcal{L}_X((q+1)(p+q))$$

$$P(z) \xrightarrow{} f^* P(z) = P \circ f.$$

Usiamo R.R

$$\dim \mathcal{L}_{\widehat{\mathbb{C}}}((q+1)\infty) = q+2 \quad \text{e} \quad \dim \mathcal{L}_X((q+1)(p+q)) = q+3$$

$$i: \mathcal{L}_X((q+1)(p+q)) \rightarrow \mathcal{L}_X((q+1)(p+q))$$

$$h \xrightarrow{} i^* h = h \circ i$$

Autovalori sono  $\pm 1$ . Se  $i^* h = h \Rightarrow h$  è  
meromorfa su  $X/i \cong \widehat{\mathbb{C}}$   $\Rightarrow h = f^*(g)$ .

$$\text{Quindi abbiamo } \mathcal{L}_X((q+1)(p+q)) = f^* \mathcal{L}_X((q+1)\infty) \oplus \mathbb{C}\langle k \rangle$$

$i^* k = -k$ .  $\Rightarrow k$  svanisce lungo i punti

$$p_1, \dots, p_{2g+2} \quad (k) = p_1 + \dots + p_{2g+2} - (q+1)(p+q)$$

Sia  $f(p_i) = e^{i \infty}$  punti di diramazione.

$$\prod_{l=1}^{2g+2} (f - e_l) = 2(p_1 + \dots + p_{2g+2}) - (2g+2)(p+q).$$

Quindi  $\lambda^2 = c \prod_{l=1}^{2g+2} (f - e_l) \quad c \neq 0$ .

Quindi  $X$  ha una rappresentazione come curva plana del tipo  $y^2 = c \prod_{l=1}^{2g+2} (x - e_l)$

$$df = p_1 + \dots + p_{2g+2} - 2(p+q)$$

quindi  $w_{i+1} = \frac{f^i df}{k}$  sono uno base per i differenziali obliqui  $i=1 \dots g$ . perché le

$f^i$  sono linearmente indipendenti.

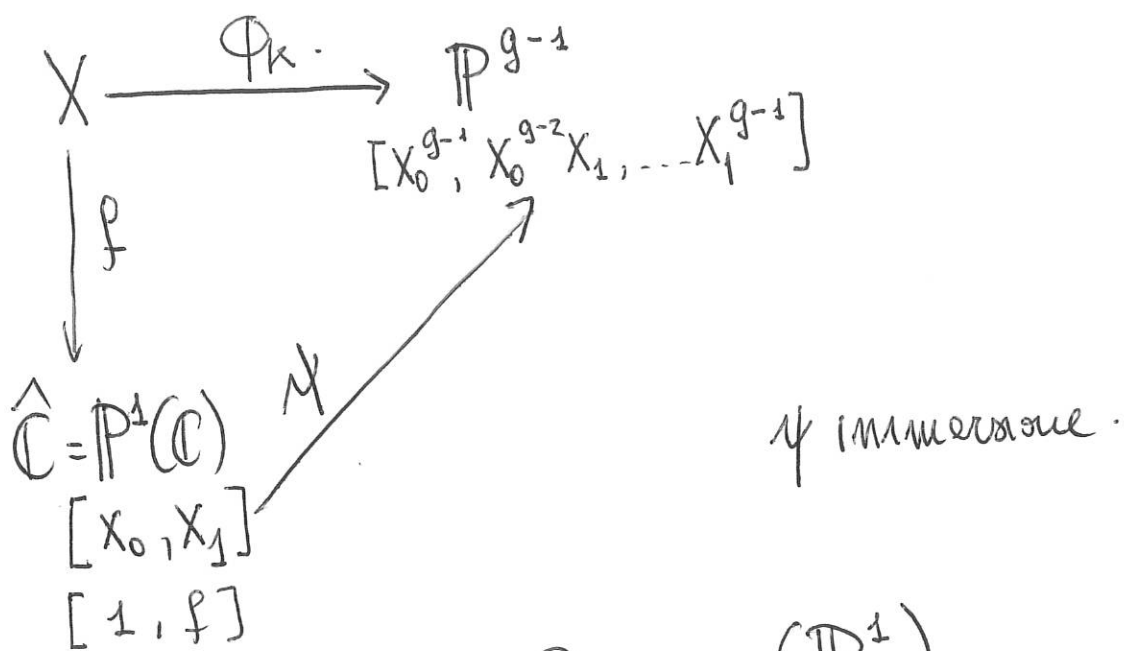
$$(w_{i+1}) = (f^i) df - (k) = i(p_0 + q_0) - i(p+q) + p_1 + \dots + p_{2g+2} - 2(p+q) - (p_1 + \dots + p_{2g+2}) - (g+1)(p+q)$$

$$= (g-i-1)(p+q) + i(p_0 + q_0)$$

Quindi

$$\psi_k(p) = [1, f(p), \dots, f^{g-1}(p)]$$

Riassumendo abbiamo



$$\text{Allora } \Phi_k(X) = C = \psi(\mathbb{P}^1)$$

è un'applicazione di grado 2.

Osservazione: la curva  $y^2 = c \prod_{i=1}^{2g+2} (x - e_i)$

è lineare come curva affine. Ma la sua

chiusura proiettiva  $y^2 z^{2g} = c \prod_{i=1}^{2g+2} (x - e_i z)$

ha come unico punto singolare il punto  $[0, 1, 0]$

Esempio: Se  $g(X) = 2 \Rightarrow X$  è iperellittica

Abbiamo  $l(K) = 2 \quad \deg K = 2$ .

Allora in  $L(K)$  esiste  $f \neq c$   $f: X \rightarrow \hat{\mathbb{C}}$   
ha grado 2.

$g(X) = 3 \Rightarrow X$  è una quarta piana  
non singolare oppure è iperellittica.

Se  $X$  non è iperellittica.

$\varphi_K : X \longrightarrow \mathbb{P}^2$  è un'immersione.  
non singolare.

$\varphi_K(X)$  è una curva in  $\mathbb{P}^2$   
liscia

Come calcolare il grado?

Ahhanno  $\ell(K) = 3$  e  $\dim \mathbb{C}[X, Y, Z]_1 = 3$ .

$\ell(2K) = 3g - 3 = 6 \quad \dim \mathbb{C}[X, Y, Z]_2 = 6$

$\ell(3K) = 5g - 5 = 10$

$\ell(4K) = 7g - 7 = 14. \quad \dim \mathbb{C}[X, Y, Z]_4 = 15$

qui i polinomi di grado 4 valutati in  
 $w_1, w_2, w_3$  soddisfano una relazione.

Queste sono le quarte cercate.

→ \*SUPPLEMENTO

Una superficie di Riemann compatte, si può ottenere  
come desingularizzazione di una curva algebrica  
piana. (Altro modo)

Sia  $D$  effettivo  $\deg(D) \geq 2g + 1$ .

$\varphi_D : X \longrightarrow \mathbb{P}^{d-g}$  è immersione.

Immagine è una curva algebrica (varietà di dim 1)

Adesso se  $d-g > 4$ .

Possiamo proiettare da un punto  $P$  di  $\mathbb{P}^{d-g}$  in  $\mathbb{P}^{d-g-1}$ . (33)

$$\phi_D(X) \longrightarrow Y.$$

L'applicazione non è un'immersione se la retta per  $P$  è secante (2 punti) oppure tangente a  $X$ .

Le possibili sezioni di  $X$  sono parametrizzate da 2 punti  $p, q$  di  $X$  quindi abbiamo  $\infty^2$  sezioni e ogni sezione ha  $\infty^2$  punti.

Affatto molte  $\infty^2$  tangenti (ma per ogni  $p \in X$ )

e ogni tangente ha  $\infty^2$  punti.

Sia  $Z = \left\{ p \in \mathbb{P}^{d-g} / \begin{array}{l} p \text{ è in una sezione} \\ \text{o in una tangente di } X \end{array} \right\} \subseteq \mathbb{P}^{d-g}$

Se  $d-g > 4$   $Z$  è un sottoinsieme proprio

di proiettiamo da un punto che non appartiene a  $Z$ .

abbiamo che  $\phi_D(X) \cong Y$ . Ripetendo questo argomento abbiamo  $Y \cong \phi_D(X) \subseteq \mathbb{P}^3$ .

Quando proiettiamo da  $\mathbb{P}^3$  a  $\mathbb{P}^2$  possiamo evitare le tangenti, ma possiamo avere qualche sezione-

Allora l'immagine è ~~una~~ generica 1-1 e può avere # punti di punti singolari (Ecco le curve piane).